

СИСТЕМА НОРМАТИВНЫХ ДОКУМЕНТОВ В СТРОИТЕЛЬСТВЕ  
СТРОИТЕЛЬНЫЕ НОРМЫ И ПРАВИЛА

Нагрузки и воздействия  
от ветра и гололеда на провода, тросы и опоры  
воздушных линий

СНиП КР 20-01:2003

Издание официальное

Госкомархстрой при Правительстве  
Кыргызской Республики

Бишкек  
2003

**Предисловие**

1. Разработаны Кыргызским научно-техническим Центром по энергетике «Энергия»  
при участии Кыргызско-Российского Славянского Университета.  
2. Внесены отделом технического нормирования, аккредитации и науки Государственной комиссии при Правительстве Кыргызской Республики по архитектуре и строительству, открытым акционерным обществом «Национальная электрическая сеть Кыргызстана (НЭСК)» и техническим комитетом по стандартизации ТК-17.  
3. Приняты и введены в действие с \_\_\_\_\_ приказом Государственной комиссии при Правительстве Кыргызской Республики по архитектуре и строительству от «\_\_\_\_\_» 200 г.  
4. Заменен СНиП КР 20-01-99.

**Содержание**

1. Область применения.....	1
2. Нормативные ссылки.....	1
3. Определения .....	2
4. Требования к определению расчетных климатических условий.....	3
4.1. Общие положения.....	3
4.2. Определение нормативного скоростного напора ветра.....	3
4.3. Определение величины гололедных отложений.....	4
4.4. Определение скоростного напора ветра при предельных гололедных отложениях на проводах.....	5
4.5. Оценка температуры воздуха .....	5
5. Требования к расчету ветровых и гололедных нагрузок и воздействий на провода, тросы и шлейфы воздушных линий.....	6
5.1. Ветровые нагрузки.....	6
5.2. Гололедные нагрузки.....	11
5.3. Ветровые нагрузки на провода и тросы покрытые гололедом.....	12
5.4. Расчетные сочетания ветровых, гололедных и температурных условий .....	13
6. Требования к расчету ветровых и гололедных нагрузок на опоры воздушных линий.....	14
6.1. Ветровые и гололедные нагрузки на опоры .....	14
6.2. Условия оценки ветровых нагрузок на опоры покрытые гололедом.....	15
Приложение А. Карты нормативных ветровых и гололедных районов Кыргызстана с описанием их применения в условиях горного рельефа.	
A.1. Карта нормативных ветровых районов .....	17
A.2. Карта нормативных гололедных районов .....	20
Приложение Б. Вспомогательные данные .....	
Приложение В. Определения .....	26
Приложение Г. Список использованных источников .....	
Настоящие нормы и правила не могут быть полностью или частично воспроизведены, тиражированы и распространены в качестве официального издания без разрешения Государственной комиссии при Правительстве Кыргызской Республики по архитектуре и строительству.	29
Ключевые слова.....	30

**Ключевые слова:** нормы расчета, климатические условия, ветровые нагрузки, гололедные нагрузки, ветровые нагрузки при гололеде, воздушные линии, провода, тросты, опоры, методы расчета, нормы проектирования.

Приложение Г  
(справочное)

**Список использованных источников**

1. Правила устройства электроустановок (ПУЭ), Шестое издание, М., Энерготомиздат, 1989.
2. Проект Седьмого издания Правил устройства электроустановок, М., Энергосетьпроект, 1991.
3. СНиП 2-01.07-85. Строительные нормы и правила, Нагрузки и воздействия, Госстрой СССР, М., 1987.
4. Международная электротехническая комиссия (МЭК), Нагрузка и прочность воздушных линий электропередачи, код ХЕ, комитет 11, Женева, 1991.
5. Методические указания по расчету ветровых нагрузок на опоры воздушных линий с учетом их обледенения, Минэнерго СССР, М., 1991.
6. Руководящие указания по расчету ветровых нагрузок и углов отклонения проводов проектируемых ВЛ и по повышению их эксплуатационной надежности при встрече, Бишкек, Кыргызэнерго, 1998.
7. Методические указания по расчету климатических нагрузок на ВЛ и построению региональных карт расчетных нагрузок, М., ВНИИЭ, 1990.
8. Методические принципы построения региональных карт ветровых и гололедных нагрузок для горных районов, ВДНХ СССР, ГМЦ, М., 1977.
9. Руководство по проектированию опор линий электропередачи и распределительных устройств и подстанций напряжением выше 1 кВ, З534ТМ - т. 1. Энергосетьпроект.

29. Сай - форма овражного размыва. К ним относятся как небольшие промоины, так и густая сеть оврагов и долин временных потоков.

30. Скоростной напор ветра - сила вызванная давлением ветра на единицу площади.

31. Склон - наиболее распространенный элемент (грань) рельефа, наклонный участок земной поверхности.

32. Стенка гололеда - толщина стеки гололедного отложения, приведенного к цилиндрической форме. Различаются стеки эквивалентного гололеда, приведенного к плотности  $0,9 \text{ г}/\text{см}^3$ , и реальные стеки с фактической плотностью отложения, для горных ВЛ равной  $0,25 \text{ г}/\text{см}^3$ .

33. Стрела провеса провода - при одинаковых высотах точек подвеса, вертикальное расстояние между нижней точкой провода и горизонтальной линии соединяющей точки подвеса провода. При разных высотах точек подвеса различают стрелу провеса относительно высшей и относительно низшей точек подвеса.

34. Сырт - участки высоких (3-4 тыс. м) плоскогорий, занятые горными стелями, иногда участками горнолуговой растительности. Используются как пастбища. Часто к сыртам относят и плоские днища широких долин.

35. Ущелья - глубоко врезанные узкие долины, шириной по низу менее 100 м, как правило с крутыми скалистыми склонами.

36. Фоновые значения - значения характерные для большей части рассматриваемой зоны.

37. Хребет - линейно вытянутая положительная форма рельефа, в основе двугранная, состоящая из двух расходящихся склонов, иногда разделенная пологой пригорбневой грядой гранью (плосковерхий хребет). На гребне хребта различаются вершины и седловины.

38. Шлейф - провисающий участок провода на анкерной и угловой опорах линии электропередачи соединяющий две точки анкерного закрепления провода.

39. Экспозиция склонов - различаются по сторонам горизонта (северная, южная и т.д.) а так же по направлению сильных ветров или гололедонесущих потоков (наветренная, подветренная).

## СТРОИТЕЛЬНЫЕ НОРМЫ И ПРАВИЛА КЫРГЫЗСКОЙ РЕСПУБЛИКИ

### Аба линияларынын откоргутчоруна, сым аркандарыны жана малыларына шамалдан жана муздан түшкөн жуктор жана таасирлер

#### Нагрузки и воздействия

от ветра и гололеда на провода, тросты и опоры воздушных линий

**Loading and exposures of wind and ice-storm the wires, ropes and bearings of the aerial lines.**

Дата введения

#### 1. Область применения

Настоящие нормы и правила распространяются на провода, тросты и опоры всех видов воздушных линий (ВЛ) и определяют методические основы, а также значения параметров и коэффициентов расчета ветровых, гололедных и гололедо-ветровых воздействий на ВЛ.

Положения настоящих норм и правил должны применяться всеми организациями, независимо от форм собственности и подчинения при сооружении и эксплуатации воздушных линий на территории Кыргызской Республики и являются приоритетными относительно соответствующих разделов национальных норм и правил других стран.

Нормы пригодны для оценки соответствия параметров безопасности при проектировании и строительстве воздушных линий.

#### 2. Нормативные ссылки

Перечень использованных нормативов приведен в приложении Г, а ссылки на них даны в тексте настоящего раздела СНиП в квадратных скобках.

Издание официальное

### 3. Определения

Определения использованных в настоящем разделе СНиП терминов приведены в **приложении В.**

**16. Орография – описание внешних черт рельефа земной поверхности.**

**17. Орографически защищенные участки:**

- для склонов хребтов (независимо от их высоты) – пониженные или врезанные в склон участки тальвегов узких склоновых долин, ущелий, сав и их боргов, если высоты окружающих со всех сторон складок местности имеют превышения на 150 м и более;
- для плато, днищ котловин и подгорных равнин – участки, защищенные со всех сторон ближайшими (удаление менее 300 м) складками местности, лесом, насаждениями и строениями высотой 10 м и более.

**18. Орографически незащищенные участки:**

- для склонов хребтов (независимо от их высоты) – участки склонов хребтов, для которых местная защищенность со всех сторон складками местности менее 150 м;
- для плато, днищ котловин и подгорных равнин – участки, для которых местная защищенность (удаление менее 300 м) со всех сторон складками местности, лесом, насаждениями и строениями отсутствует или менее 10 м.

**19. Перевалы – более низкие части горных хребтов, используемые для сообщения между долинами, лежащими по разные стороны хребта.**

**20. Период осреднения скорости ветра – период времени, за который оценивается среднее значение пульсаций скорости ветра.**

**21. Плато – возвышенная равнина с ровной или волнистой, слабо расчлененной поверхностью, ограниченная отчетливыми более или менее крутыми или ступенчатыми уступами, приподнятая по отношению к соседним равнинным пространствам.**

**22. Пролеты ВЛ:**

- Габаритный – пролет, длина которого определяется нормированным вертикальным габаритом от проводов до земли при установке опор на идеально ровной местности.
- Ветровой – длина участка, давление ветра на провода или тросы с которого воспринимаются опорой

- Весовой – длина участка веса проводов или тросов на котором численно равен вертикальным нагрузкам воспринимаемый опорой от проводов и тросов (длина участка между наименее точками пропуска проводов в двух смежных пролетах).

- Приведенный – условный пролет соответствующий напряжению провода анкерованного участка ВЛ с различными длинами фактических пролетов.

**23. Прогоды горные – участки в горных цепях и хребтах, наиболее легкие для их пересечения. Помимо перевалов к горным проходам относятся сквозные долины и общирные седловинообразные понижения горной страны.**

**24. Районирование территории – метод выявления территориальных различий и единство путем выделения неповторимых участков (ареалов), сходных как-либо внутри себя и отличных от смежных.**

**25. Регион (район) – общее обозначение любого территориального единства.**

**26. Региональная карта – карта, характеризующая распределение метеопараметров на ограниченном участке территории (области, республики) в масштабе не менее 1:500000.**

**27. Рельеф – совокупность форм горизонтального и вертикального расчленения земной поверхности, т.е. неровностей и понижений, гор и низменностей.**

**28. Режимы работы ВЛ:**

- Нормальный – работа при необорванных проводах и отсутствии воздействий возможных при сейсмических явлениях и токах короткого замыкания.

- Аварийный – работа ВЛ при оборванных проводах или тросях, а также в условиях сейсмических воздействий.

**Приложение В  
(правочное)**

## ОПРЕДЕЛЕНИЯ

### 4. Требования к определению нормативных климатических условий

#### 4.1. Общие положения

В настоящем разделе СНиП использованы следующие термины с соответствующими определениями:

- 1. Альдыры** - холмисто-увалистые предгорья, окаймляющие Ферганскую котловину. Относительная высота 100-400 м. Сильно изрезаны сухими балками и оврагами. Аналогичные формы рельефа имеются также в других долинах и котловинах.
- 2. Ветровые и гололедные нагрузки** - силы, действие которых испытывают элементы ВЛ при наличии ветра и гололедных отложений.
- 3. Ветровые и гололедные воздействия** - определяют перемещения (отклонения) элементов ВЛ вызванные ветровыми и гололедными нагрузками.
- 4. Волорадел** - линия на земной поверхности между двумя смежными волотоками или их системами (бассейнами рек). В горных регионах обычно резко выражено в рельефе, совпадая с линией гребня хребта, на равнинах положение волораделной линии менее определено.

**Разделяют** - главные волорадели, разделяющие крупные бассейны и покатости, боковые волорадели, разделяющие смежные реки, принадлежащие одной и той же покатости.

- 5. Вехомицкая территория** (холмистый рельеф) - поверхность, состоящая из холмов и холмистых гряд с относительными высотами не более 200 м.
- 6. Высота** - превышение по вертикали данного пункта над уровнем, принимаемым за ноль. Различают абсолютную высоту над уровнем моря и относительную высоту над любой избранной поверхностью, обычно над подошвой хребта, холма, склона.

- 7. Гололедные отложения**:
  - Гололед - осадок на конструкциях ВЛ прозрачного или беловатого льда с высокой плотностью.
  - Плотная (зернистая) изморозь - осадок белого цвета, напоминает снег, образуется от замерзания на провод капель переохлажденного тумана или морози.
  - Сложные отложения (теси) - последовательные наложения гололедных и изморозевых отложений и мокрого снега.

- 8. Долина** - вогнутые, линейно вытянутые формы рельефа, образованные деятельностью рек и имеющие уклон в направлении их течения. Горные долины - глубокие при небольшой ширине, с неравномерным падением продольного профиля.
- 9. Длина пролета** - горизонтальное расстояние между двумя соседними точками подвеса провода.
- 10. Зоны с орографическим усилением гололедного или ветрового режимов (зоны УГВР)** - локальные зоны внутри более обширных областей с однородными и более низкими ветровыми гололедными условиями.
- 11. Интерполяция** - отыскание промежуточных значений величины по известным меньшим и большим ее значениям.
- 12. Котловина** - участок территории, ограниченной со всех сторон хребтами.
- 13. Коэффициент заполнения** - отношение суммы площадей отдельных элементов грани опоры к площади наружного контура этой грани.
- 14. Линейная нагрузка** - нагрузка, приходящаяся на единицу длины.
- 15. Локальная зона** - участок территории характеризующийся особыми, резко выделяющимися, климатическими условиями.

4.1.1. Климатические условия, объективный учет которых обеспечивает надежность работы воздушных линий (ВЛ), включают в себя скорость ветра, гололедно-изморозевые отложения, совместное сочетание гололедных отложений и ветра, а также температуру воздуха при этих местоименях и при их отсутствии

- предельные величины скоростного напора ветра,  $q_0$ , на высоте 10 метров и с периодом осределения скорости ветра 10 минут;

- предельные величины гололедных отложений (толщина стенки, или вес,  $P_{\text{тол}}$ ) на

высоте 10 метров и проводе диаметром 10 мм;

- скоростной напор ветра при гололедных отложениях,  $q_{\text{тол}}$ ;

- средние, максимальные и минимальные значения температуры воздуха ( $t_{\text{ср}}, t_{\text{max}}, t_{\text{min}}$ ) при отсутствии ветра и гололеда;

- минимальные значения температуры воздуха при максимальном ветре и гололеде ( $t_{\text{min}}, t_{\text{тол}}$ ).

4.1.3. Предельные величины скоростного напора ветра, гололедных отложений и скоростного напора ветра при гололеде определяются исходя из их повторяемости 1 раз в 5, 10, 15 и 25 лет в зависимости от класса напряжения ВЛ:

- для ВЛ напряжением до 35 кВ включительно - один раз в 10 лет;
- для ВЛ напряжением 110-220 кВ - один раз в 15 лет;
- для ВЛ напряжением 330 кВ и выше - один раз в 25 лет.

Для временных ВЛ, со сроками эксплуатации до 10 лет, допускается принимать предельный скоростной напор и предельные отложения гололеда с повторяемостью 1 раз в 5 лет.

Расчетные значения температуры воздуха определяются на основе многолетних данных наблюдений метеостанций и принимаются одинаковыми для всех классов ВЛ.

4.1.4. Нормативные районы скоростных напоров ветра и величин гололедных отложений принимаются в соответствии с приложением А.

4.1.5. Для трасс магистральных воздушных линий электропередачи и газос. передающих сложные горные территории, расчетные климатические условия рекомендуется уточнять на основе специальных исследований.

4.1.6. При необходимости использования скоростей ветра с ранее принятых 2-х минутным периодом осределения, их приведение к 10 минутному периоду должно проводиться по усредненным соотношениям [2]:

- для скоростей ветра  $V_{2\text{мин}} = 1,14 V_{10\text{мин}}$ ,
- для скоростных напоров  $q_{2\text{мин}} = 1,3 q_{10\text{мин}}$ .

#### 4.2. Определение нормативного скоростного напора ветра

4.2.1. Скоростной напор ветра,  $q_0$ , измеряется в паскалях ( $1 \text{Па} = 1 \text{Н}/(\text{м}^2)$ ) и определяется по формуле:

$$q_0 = 0,5 V_p^2 \rho, \quad (1)$$

где  $V$  м/с - нормативная скорость ветра, м/с, зависящая от выбранного периода повторяемости и определяемая на высоте 10 м от поверхности земли, с 10 минутным периодом среднем,  $\rho$  - плотность воздуха, принимается в зависимости от высоты местности по таблице 4.1.

Таблица 4.1. - Средняя плотность воздуха,  $\rho$  кг/м<sup>3</sup> (Нсек<sup>2</sup>/м<sup>4</sup>) на различных высотах горных трасс

Высота н.у.м., $h$ , км	0	0,5	1,0	1,5	2,0	2,5	3,0	3,5
Плотность воздуха, $\rho$ , кг/м <sup>3</sup>	1,22	1,19	1,13	1,08	1,03	0,98	0,93	0,88

4.2.2. Градации ветровых районов и соответствующие им скорости ветра и скоростные напоры, без гололеда, для различных периодов повторяемости, должны приниматься в соответствии с таблицей 4.2.

Таблица 4.2. - Ветровые районы и соответствующие им максимальные скорости,  $V$  м/с и скоростные напоры  $q_0$ , Па (Н/м<sup>2</sup>) ветра для разных периодов повторяемости

Ветровые районы	Скорости ветра, м/с с повторяемостью раз в				Скоростные напоры ветра, Па с повторяемостью один раз в			
	5 лет	10 лет	15 лет	25 лет	5 лет	10 лет	15 лет	25 лет
I	22	23	24	25	300	325	350	400
II	25	27	28	29	400	450	480	500
III	28	29	30	32	500	515	550	650
IV	31	33	34	36	590	670	710	800
V	34	36	38	40	710	800	900	1000
VI	39	40	43	45	900	1000	1150	1250
VII	42	45	47	49	1100	1250	1350	1500
Особый	43	46	48	50 и более	1150	1300	1400	1550 и более

В таблице 4.2. величины скоростных напоров ветра даны для высот трасс ВЛ на уровне моря ( $\rho=1,22$ ). Для горных ВЛ приведенные значения скоростных напоров должны быть пересчитаны в соответствии с таблицей 4.1 и формулой (1).

#### 4.3. Определение величины гололедных отложений

4.3.1. Величины гололедных отложений оцениваются по их весу на одном метре провода, Н/м.

4.3.2. В качестве нормативных для горных ВЛ принятые часто встречающиеся отложения плотной изморози, мокрого снега и смеси со средней плотностью 0,25 г/см<sup>3</sup>.

4.3.3. Нормативные значения гололедных отложений определяются для провода диаметром 10 мм и высоты 10 м над поверхностью земли.

4.3.4. Градации гололедных районов и соответствующие им веса отложений для различных периодов повторяемости приведены в таблице 4.3.

Продолжение приложения Б  
Таблица Б.3 - Величины стрел провеса провода в пролете ВЛ

Марка провода	Длина гирлянд, м	Длина пролета, м							
		100	150	200	250	300	400	450	500
AC-95/16	1,0	0,06	0,12	0,17	0,22	0,26			
	1,5	0,10	0,18	0,26	0,33	0,38			
	2,0	0,13	0,24	0,34	0,44	0,52			
	2,5	0,16	0,30	0,43	0,55	0,65			
	3,0	0,19	0,36	0,51	0,65	0,77			
	3,5	0,22	0,42	0,59	0,76	0,90			
AC-120/10	1,0	0,04	0,08	0,13	0,17	0,20	0,23	0,28	0,32
	1,5	0,06	0,13	0,19	0,25	0,29	0,34	0,42	0,48
	2,0	0,07	0,17	0,25	0,34	0,39	0,46	0,56	0,64
	2,5	0,09	0,21	0,31	0,41	0,49	0,57	0,70	0,80
	3,0	0,11	0,25	0,37	0,49	0,58	0,69	0,84	0,86
	3,5	0,13	0,29	0,44	0,57	0,69	0,80	0,98	1,12
AC-150/24	1,0	0,03	0,07	0,10	0,14	0,17	0,20	0,24	0,27
	1,5	0,04	0,10	0,15	0,21	0,25	0,29	0,36	0,41
	2,0	0,06	0,13	0,20	0,28	0,33	0,39	0,48	0,55
	2,5	0,07	0,17	0,26	0,34	0,41	0,49	0,59	0,68
	3,0	0,09	0,20	0,31	0,41	0,49	0,58	0,71	0,82
AC-185/29	1,0	0,03	0,06	0,09	0,12	0,15	0,17	0,21	0,24
	1,5	0,04	0,08	0,13	0,18	0,22	0,25	0,32	0,36
	2,0	0,05	0,11	0,18	0,24	0,29	0,34	0,42	0,48
	2,5	0,06	0,14	0,22	0,30	0,36	0,43	0,52	0,60
	3,0	0,08	0,17	0,26	0,36	0,43	0,51	0,63	0,72
	3,5	0,09	0,19	0,31	0,42	0,51	0,60	0,72	0,85
AC-240/32	1,0	0,03	0,05	0,08	0,11	0,13	0,15	0,19	0,22
	1,5	0,04	0,07	0,12	0,16	0,19	0,23	0,29	0,33
	2,0	0,05	0,12	0,22	0,33	0,45	0,58	0,74	0,85
	2,5	0,06	0,15	0,23	0,32	0,46	0,57	0,65	0,72
	3,0	0,08	0,17	0,27	0,37	0,45	0,58	0,78	0,93
	3,5	0,09	0,19	0,29	0,42	0,52	0,62	0,74	0,84
	4,0	0,1	0,2	0,29	0,42	0,52	0,62	0,74	0,85
	4,5	0,12	0,22	0,33	0,45	0,58	0,7	0,84	0,96
	5,0	0,13	0,24	0,36	0,52	0,65	0,78	0,93	1,07
	5,5	0,14	0,27	0,39	0,58	0,71	0,85	1,02	1,17
	6,0	0,16	0,29	0,43	0,63	0,78	0,93	1,11	1,28
	6,5	0,17	0,31	0,47	0,68	0,84	1,0	1,2	1,38
	7,0	0,18	0,34	0,5	0,73	0,9	1,08	1,29	1,49

Примечание. Значения  $\Delta u$  рассчитываются по формуле:

$$\Delta u = \lambda (1 - \lambda) \frac{Y}{2\sigma} + \lambda \Delta h / 1$$

где  $\lambda$  - длина натяжной гирлянды, м.

$Y$  - удельная нагрузка на провод лайн/м<sup>2</sup>,

$\sigma$  - напряжение провода дин/мм<sup>2</sup>,

$\Delta h$  - разность отметок точек подвеса, м.

**Приложение Б**  
(справочное)

**Вспомогательные данные**

**Таблица Б.1 - Физико-механические характеристики стальаломиниевых проводов[1,2]**

Отношение сечений алюминия и стали в проводе	Допустимое напряжение при среднемесячной температуре в нулевой точке, $\sigma_{\text{даH/mm}^2}$	Приведенная нагрузка от веса провода, $Y_{\text{даH/mm}}$	Модуль упругости, $E_{\text{даH/mm}^2}$	Предел прочности при растяжении, $\sigma_{\text{вр. даH/mm}^2}$
a : c = 0,65	22,8	5,85	14600	76
a : c = 0,95	20,1	5,37	13400	67
a : c = 1,46	16,5	4,84	11400	55
a : c = 4,29-4,40	9,9	3,71	8900	33
a : c = 6,0 - 6,28	8,7	3,46	8250	29
a : c = 7,67 - 8,04	8,1	3,34	7700	27
a : c = 12,22	7,2	3,15	6650	24
a : c = 17,9 - 18,1	6,5	3,03	6650	21,5
Особый		>20	>30	>40
				>57

**Таблица Б.2 - Наиболее распространенные марки сталеаломиниевых проводов ( по ГОСТ 839 - 80)**

Марка провода по ГОСТ 839-80	Расчетный диаметр провода d, мм	Вес 1 метра провода Н/м	Сечение провода, мм <sup>2</sup>
AC - 5/08	9,6	2,0	56
AC - 7/011	11,4	2,8	79
AC - 95/16	13,5	3,9	111
AC - 120/19	15,2	4,7	136
AC - 120/27	15,4	5,4	141
AC - 150/19	16,8	5,5	169
AC - 150/24	17,1	6,0	173
AC - 150/34	17,5	6,8	181
AC - 185/24	18,9	7,0	211
AC - 185/29	18,8	7,3	210
AC - 185/43	19,6	8,5	220
AC - 240/32	21,6	9,2	276
AC - 240/39	21,6	9,5	275
AC - 240/56	22,4	11,1	297
AC - 300/39	24,0	11,3	340
AC - 300/48	24,1	11,9	342
AC - 300/67	24,5	13,2	356
AC - 400/51	27,5	14,9	445
AC - 400/64	27,7	16,6	454
AC - 400/93	29,1	18,5	499

**Таблица 4.3. – Вес гололедных отложений, Н/м с повторяемостью один раз в титивным гололедным районам**

	Вес гололедных отложений, Р Н/м с повторяемостью один раз в титивным гололедным районам
I	5 лет
II	2
III	4
IV	6
V	10
VI	14
VII	19
Особый	25
	34
	25
	45
	57
	>57

**4.4. Определение скоростного напора ветра при предельных отложениях на проводах**

4.4.1. При предельных величинах гололедных отложений (таблица 4.3) значения нормативного скоростного напора ветра  $q_{\text{нор}}$ , Па и нормативной скорости ветра при гололеде,  $V_{\text{нор}}$ , м/с принимаются в долах максимального скоростного напора или максимальной скорости ветра исходя из следующего:

- для орографически незадищенных участков требовых зон внешних хребтов и открытых склонов на отметках выше 2,5 км следует принимать  $V_{\text{нор}}/V_o=0,7$  и  $q_{\text{нор}}/q_o=0,5$ ;
- для всех остальных зон и районов Кыргызстана следует принимать  $V_{\text{нор}}/V_o=0,5$  и  $q_{\text{нор}}/q_o=0,25$ .

**4.5. Оценка температуры воздуха**

4.5.1. Среднегодовая температура воздуха,  $t_{\text{ср}}$ , тесно связана с абсолютной высотой, Z, км, может быть определена по следующим соотношениям для различных регионов:

Чуйская и Таласская долины и прилегающие склоны и требы хребтов

$$t_{\text{ср}} = 12,4 - 4,57 Z \pm 1,2. \quad (2)$$

Приферанье, включая прилегающие склоны и требы хребтов,

$$t_{\text{ср}} = 16,4 - 5,78 Z \pm 2,5. \quad (3)$$

Внутренний Тянь-Шань, включая долины, котловины, склоны и требы хребтов,

$$t_{\text{ср}} = 14,5 - 5,92 Z \pm 2,3. \quad (4)$$

4.5.2. Максимальная ( $t_{\text{max}}$ ) и минимальная ( $t_{\text{min}}$ ) температуры для склонов определяются по уравнениям, рассчитанным для всей территории Кыргызской Республики

$$t_{\text{max}} = 42,6 - 5,17 Z \pm 2,4. \quad (5)$$

$$t_{\text{min}} = -28,7 - 2,76 Z \pm 4,1. \quad (6)$$

Среднеквадратическую ошибку (последний член уравнения) следует учитывать для  $t_{\text{max}}$  с положительным знаком, а для  $t_{\text{min}}$  – с отрицательным. Уравнение (5), для оценки макси-

мальных температур, может быть использовано и для других форм рельефа Кыргызской Республики. Минимальные температуры для долин и котловин должны определяться только фактическими данными наблюдений для рассматриваемого района.

4.5.3. Температура воздуха при максимальных скоростях ветра,  $t_{\text{вых}}$ , на всей территории Кыргызстана должна приниматься равной минус 5°C. Исключение касается участков с высотными отметками более 3,5 км, где она должна приниматься равной минус 10°C.

4.5.4. Температура воздуха при гололеде,  $t_{\text{гол}}$ , на территории Чуйской, Галасской долин, Приферганья, включая прилегающие склоны с высотными отметками до 1,5 км, а также в восточной оконечности Иссык-Кульской котловины, исключая склоны, дюржна приниматься равной минус 5°C, в этих же районах на выступающих участках рельефа (открытые склоны, гребни боковых водоразделов, вершины и плато) с высотными отметками до 2,0 км - равной минус 10°C., на гребнях хребтов и боковых водоразделах с высотными отметками выше 2,0 км - равной минус 15°C., в месторождениях Тянь-Шаня с высотными отметками выше 2,0 км - равной минус 20°C.

4.5.5. Температуру воздуха при грозовых и внутренних перенапряжениях следует принимать равной плюс 15°C.

## 5. Требования к расчету ветровых и гололедных нагрузок и воздейстий на провода, тросы и шлейфы воздушных линий

**5.1. Ветровые нагрузки на провода, шлейфы и тросы свободные от гололеда**

5.1.1. При расчете ветровых нагрузок на провода, шлейфы и тросы следует считать, что ветер направлен к плоскости их прокладки под углом 90° [1].

5.1.2. Высоту подвески проводов,  $h$ , м, следует принимать по высоте приведенного центра тяжести всех проводов,  $h_{\text{ср}}$ , который определяется по формуле

$$(7)$$

$$h_{\text{ср}} = h_{\text{ср}} - 0,67 f$$

где  $h_{\text{ср}}$  - средняя высота крепления проводов к изоляторам, отсчитываемая от отметки земли в местах установки опор, м;

$f$  - наибольшая стrela провеса провода, м.

5.1.3. Расчет линейной ветровой нагрузки,  $P_e$ , кВт, на провода и тросы, должен производиться по формуле

$$P_e = K_0 K_1 K_2 \mu_1 C_v \Phi_0 d 10^3 \quad (8)$$

где  $K_0$  - коэффициент надежности по назначению линии, для ветровой нагрузки промышленной равным: для ВЛ напряжением до 330 кВ включительно - 1, для особенно ответственных и двухцепных ВЛ до 330 кВ, а также для всех ВЛ - 500 кВ и выше - 1,2;

$K_1$  - коэффициент учитывающий высоту подвеса проводов и тросов, отличную от 10 м, принимается в соответствии с таблицей 5.1;

$K_2$  - коэффициент порывистости скоростного напора. Для районов южной части больших водных поверхностей, на открытых равнинах и в других местах с повышенной порывистостью ветра значения  $K_2$  принимаются равными 2,35, для всех других районов  $K_2 = 1,9$ . Эти значения  $K_2$  соответствуют средней скорости с 10 минутным периодом осреднения;

## Продолжение Приложения А

Таблица А.2. Высотное положение границ нормативных гололедных районов на склонах хребтов внешних и внутренних горных областей в зависимости от высоты гребня и подошвы склона (для орографически незащищенных участков склонов хребтов)

Высота подошвы, км	Высота гребня, км		
	1	2	3
1. Внешние горные области			
Границы III района			
0,6	0,6-0,7	0,7-0,9	0,7-1,1
0,8	0,7-0,8	0,9-1,1	0,9-1,3
1,0		1,1-1,2	1,1-1,4
Границы IV района			
0,6	0,7-0,8	0,9-1,1	1,1-1,4
0,8	0,8-0,9	1,1-1,2	1,3-1,5
1,0		1,2-1,3	1,4-1,7
Границы V района			
0,6		1,1-1,2	1,4-1,7
0,8		1,2-1,3	1,5-1,8
1,0		1,3-1,4	1,7-1,9
2. Внутренние горные области			
Границы III района			
1,5			2,5-2,7
2,0			2,7-2,8
3,0			3,7-3,8
Границы IV района			
1,5			2,7-2,9
2,0			2,8-2,9
3,0			3,8-3,9
Нижняя граница V района			
2,0			2,95
3,0			3,95

А.2.6. Между нормативными значениями гололедных стенок  $b$ , вероятных 1 раз в 5, 10, 15 и 25 лет, для территории Киргизстана справедливы усредненные соотношения

$$(A.3) \quad b_5 = 0,55 b_{25}, \quad b_{10} = 0,71 b_{25}, \quad b_{15} = 0,82 b_{25}.$$

## Продолжение Приложения А

них хребтов, при превышении ими среднего уровня гребней блокирующих внешних хребтов, оказываются в гололедных условиях, характерных для внешних горных областей.

**A.2.3.** Положение высотных границ нормативных гололедных районов на орографически незащищенных участках склонов хребтов приведены в табл. А.2, которую необходимо использовать совместно со схематической картой рис. А.2.

**A.2.4.** Согласно карты рис. А.2 и табл. А.2, территориальное распределение нормативных гололедных районов характеризуется следующим.

К первому гололедному району относятся нижняя часть Чуйской долины до высот 0,8 км, Иссык-Кульская котловина (с отметками до 1,8 км), днища долин и котловин внутренних горных областей с притекающими бортами до 200 м относительных превышений над дницами, Токтогульская котловина до отметок 1,2 км, Алайская котловина до отметок 3,0 км, а также *орографически защищенные участки склонов всех внутренних горных областей*, независимо от их абсолютной высоты (на схематической карте рис. А.2 не выделены).

Ко второму гололедному району отнесены: днище Чуйской долины с высоты 0,8 км и до подножья склонов, днище Таласской долины до высот 1,5 км, Ферганской долина с отметками 0,6-0,8 км; Чаткальская долина с отметками до 2,0 км; Алайская долина с отметками 3,0-3,2 км, орографически незащищенные участки склонов хребтов внутренних горных областей с отметками до 2,0 км, а также *орографически защищенные участки склонов внешних горных областей* независимо от их абсолютной высоты (на схематической карте рис. А.2 не выделены).

К третьему гололедному району относятся самые нижние участки склонов Киргизского Ала-Тоо, обрамляющих Чуйскую долину, с отметками до 1,2 км, левобережные облассти Таласской долины с отметками от 0,7 км на западе до 2,0 км на востоке, равнинное обрамление Псекемского, Сандалашского и Чаткальского хребтов и области Ферганской долины с отметками 0,8-1,0 км, восточная часть Иссык-Кульской котловины с отметками 1,9-2,0 км, *орографически незащищенные участки склонов хребтов внутренних горных областей* с высотами менее 3,0 км.

К четвертому-пятому гололедным районам отнесены орографически незащищенные участки склонов хребтов внешних и внутренних горных областей в высотных границах, определяемых по табл. А.2.

К шестому гололедному району относятся орографически незащищенные участки склонов хребтов внешних горных областей на высотах 2,4-3,0 км и внутренних горных областей – на высотах 3,5-4,0 км.

К седьмому гололедному району относятся орографически незащищенные участки склонов хребтов внешних горных областей на высотах 3,1-3,7 км и внутренних горных областей – на высотах более 4 км.

К общему гололедному району относятся орографически незащищенные участки склонов хребтов внешних горных областей с высотами более 3,7 км и внутренних горных областей – на высотах более 4 км.

- один гололедный район, относительно определенных в п. А.2.4, в следующих случаях:
  - на склонах отдельных возвышенностей подгорных равнин и днищ котловин внешних горных областей для относительных высот 100 м и более,
  - при пересечениях крупных рек (таких как Нарын, Кокомерен, Тюп и др.),
  - на выступающих (100 м и более) пикообразных участках гребневой линии высоких хребтов (3,0 км и более),
  - на седловинах перевалах высоких хребтов (3,0 км и более),
  - в других районах орографического усиления гололедных процессов при наличии дополнительных сведений.

$\mu_l$  - коэффициент линейной неравномерности ветра вдоль пролета ВЛ. Значения  $\mu_l$  следует принимать в зависимости от длины пролета между точками подвеса провода, в соответствии с таблицей 5.2;

$C_x$  - коэффициент аэродинамического сопротивления. Для проводов и тросов свободных от гололеда должен приниматься равным 1,1;

$q_o$  - скоростной напор ветра. Па, определяемый в соответствии с таблицей 4.2, и приложением А настоящего СНиП,

d - диаметр провода, мм.

Таблица 5.1. - Поправочные коэффициенты,  $K_h$ , учитывающие изменение скоростного напора ветра,  $q_o$  с высотой

Типы местности	Поправочные коэффициенты при высоте над поверхностью земли, м						
	10	15	20	30	40	50	60
A. Предгорная равнина, широкие долины и котловины, открытые склоны (ниже гребня на 100 м. и более)	1,0	1,15	1,25	1,40	1,50	1,60	1,70
B. Городские территории и лесные массивы с преобладающими высотой более 10 м, узкие горные долины и ущелья	0,65	0,80	0,9	1,0	1,15	1,25	1,40
C. Орографически открытые выпуклые участки горного рельефа (ребра хребтов и боковые водоразделы, перевалы, отдельные вершины и выступающие плато).	1,0	1,10	1,15	1,15	1,15	1,20	1,25

Примечание: В таблице 5.1 в последующих таблицах промежуточные значения определяются линейной интерполяцией.

Таблица 5.2. - Значения коэффициента линейной неравномерности ветра

Длина пролета, м	до 5	10	15	20	50	100	150	200	300	400	$\geq 500$
Значения $\mu_l$	0,95	0,9	0,86	0,83	0,73	0,65	0,60	0,56	0,50	0,47	0,45

5.1.4. При различных величинах длин пролетов,  $l$ , в пределах анкерованного участка линии, расчет ветровой нагрузки,  $P_w$ , на провода анкерованного участка, по формуле (8) следует производить для длины приведенного пролета,  $l_{np}$ , которая определяется по формуле:

$$l_{np} = \sqrt{\sum l_i^3 / \sum l_i} \quad (9)$$

Приведенный пролет равен корню квадратному из суммы кубов всех длин пролетов анкерного участка,  $l$ , деленной на длину анкерованного участка



## Продолжение Приложения А

Таблица А.1 Высотное положение верхних (ВГ) и нижних (НГ) границ нормативных ветровых районов для орографически незашитенных участков склонов хребтов внешних и внутренних горных хребтов

Ветровой район по табл. 4.2.1	Внутренние области		Внешние области	
	западнее оз. Сын-Куль	восточнее оз. Сын-Куль	НГ, км	ВГ, км
3	подножье	2,5	2,5	подножье
4	2,5	3,5	4,0	1,5
5	3,5	4,7	4,0	1,85
6	>4,7		>5,2	2,75
7				3,90
				5,05

А.1.6. Ветровые условия следует повысить за счет орографического эффекта на один ветровой район, относительно определенных в п. А.1.5, в следующих случаях:

- на склонах отдельных воззвышеностей подгорных равнин и днищ котловин внешних горных областей в диапазоне относительных высот 50-100 м (при больших высотах следует пользоваться табл. А.1),
- на седловинных первальных участках высоких (3 км и более) хребтов, где можно ожидать дополнительное боковое сжатие потока,
- на выступающих (100 м и более) пикообразных участках гребневой линии высоких (3 км и более) хребтов,
- в районах выходов узких склоновых долин в подгорную равнину во внешних горных районах,
- в других районах орографических усилений ветра при наличии дополнительных седловин.

А.1.7. Между нормативными скоростными напорами  $q$ , вероятными 1 раз в 5, 10, 15 и 25 лет для территории Кыргызстана справедливы усредненные соотношения

$$q_5=0,86q_{25}, \quad q_{10}=0,91q_{25}, \quad q_{15}=0,95q_{25}. \quad (\text{A.1})$$

Аналогично, для скоростей ветра этих же повторяемостей справедливы усредненные соотношения

$$V_5=0,93V_{25}, \quad V_{10}=0,95V_{25}, \quad V_{15}=0,97V_{25}. \quad (\text{A.2})$$

## А.2. Карта нормативных гололедных районов

## А.2.1. Схематическая карта нормативных гололедных районов показана на рис. А.2.

Различным гололедным районам соответствуют градации максимальных толщин гололедных стенок, вероятных 1 раз в 5, 10, 15 и 25 лет, и эквивалентно равные им максимальные веса отложений этих же вероятностей, которые даны в табл.4.3.

А.2.2. На схематической карте рис. А.2 выпущены только достаточно обширные равнинные области подгорных равнин и горных котловин (Чуйская, Таласская, Алайская и др.) с однородными гололедными условиями и часть склонов горных хребтов. Территория значительной части горных склонов, где гололедные районы в зависимости от высоты могут меняться от 5 до особого, показана одной крестообразной штриховкой. При этом, во внутренних горных областях (см. п. А.1.4 и А.1.5) имеет место сканкообразный переход от второго гололедного района к пятому без выделения промежуточных районов. Как и в случае вторых условий (п. А.1.5), это связано с тем, что участки гребневых зон высоких внутрен-

5.1.9. Максимально допустимый угол отклонения шлейфа ветром, флангов (см. рисунок 1), определяется по формуле

$$\cos \varphi_{\text{доп}} = (\frac{h_{\text{мин}}}{h_{\text{мин}} - \Delta y}) / 0,9 f_{\text{мин}} \quad (13)$$

где  $h_{\text{мин}}$  - наименьшее нормативное изоляционное расстояние по воздуху от токоведущих до заземленных частей ВЛ (таблица 5.4);

$\Delta y$  - стрела провеса провода ВЛ в точке крепления шлейфа к проводу пролета (таблица Б.4).

5.1.10. При расчете углов отклонения проводов и шлейфов в режиме грозовых и внутренних перенапряжений, величину расчетной ветровой нагрузки,  $P_a$ , определяемой по формуле (8), следует принимать с коэффициентом 0,25 [6].

5.1.11. Величина расчетных углов отклонения проводов и тросов ветром в режиме рабочего напряжения и при грозовых и внутренних перенапряжениях должна обеспечивать соблюдение минимальных воздушных промежутков,  $h_{\text{мин}}$ , приведенных в таблице 5.4 [1].

Таблица 5.4. – Наменьшее допустимое изоляционное расстояние по воздуху от токоведущих до заземленных частей ВЛ.

Расчетное условие	Наименьшее изоляционное расстояние, $h_{\text{мин}}$ , см.				
	при напряжении ВЛ, кВ				
По грозовым перенапряжениям для: штыревых изолаторов, подвесных изолаторов	15	35	-	-	-
	20	40	100	180	260
По внутренним перенапряжениям	10	30	80	160	215
По работе напряжению	-	10	25	55	80
По условию обеспечения безопасного подъема на опору	-	150	150	250	350
					450

Примечание. При расположении ВЛ на высоте более 1000 м н.у.м. наименьшие изоляционные расстояния,  $h_{\text{мин}}$ , для рабочего напряжения, грозовых и внутренних перенапряжений увеличиваются на 1% на каждые 100 метров выше отметки 1000 м [1].

5.1.12. Если величины расчетных отклонений шлейфов нарушают условия таблицы 5.4, то для уменьшения углов отклонения следует применять подвеску дополнительных поддерживающих или оттяжных гирлянд, либо утяжеление шлейфа с помощью специальных грузов.

5.1.13. Дополнительные гирлянды должны подшиваться в наиболее сложных и ответственных ситуациях, в том числе:

- на анкерно-угловых опорах ВЛ напряжением 500 кВ и выше состоящих из трех стоек;
- при нормативном скоростном напоре ветра соответствующем четвертому и выше ветровым районам;

## Продолжение Приложения А

## Отклонение ветром шлейфов анкерно-угловых опор

К первому ветровому району относятся:

- орографически защищенные участки подгорных равнин и днищ котловин, внешних и внутренних горных районов (на рис. А. 1 не отражены),
  - орографически защищенные участки склонов хребтов независимо от их высоты внутренних и внешних горных районов (на рис. А. 1 не отражены).
- Ко второму ветровому району относятся:
- орографически незащищенные участки подгорных равнин и днищ котловин внешних и внутренних горных районов до подножий склонов (за исключением зон с орографическим усилением ветра, перечисленных в нижеследующих пунктах),
  - орографически незащищенные участки днищ сыртовых долин внутренних горных областей до высот 4 км.

К третьему ветровому району относятся:

- орографически незащищенные участки склонов внутренних горных областей до абсолютных высот 2,5 км,
- орографически незащищенные участки склонов внешних горных областей от подножия до высот 1,5 км, а также адры левобережья Таласской и Ферганской долин до высоты 1,5 км,
- зона орографического усиления ветра в восточной части Чуйской долины (от пос. Быстровка до устья Бoomского ущелья),
- зона орографического усиления ветра в районе выхода р. Нарын в Ферганскую котловину (район г. Уч-Кургана в радиусе до 10 км), крайняя восточная оконечность Иссык-Кульской котловины (сан-ташские ветры) и днище Кочкорской долины до подножий склонов.

К четвертому ветровому району относятся:

- орографически незащищенные участки склонов внутренних горных областей в диапазоне высот 2,5-3,5 км западнее меридiana оз. Сон-Куль и в диапазоне высот 3,5-4 км восточнее меридiana оз. Сон-Куль,
- орографически незащищенные участки склонов внешних горных областей в диапазоне высот от 1,5 до 1,85 км (см. табл. А. 1),
- зона орографического усиления ветра на выходе из Талассской долины (горный проход между отрогами Киргизского Алатау и хребтом Карагат).

К пятому ветровому району относятся:

- зона орографического усиления ветра в западной части Иссык-Кульской котловины (ветер – улан) от входа в Бомское ущелье на западе до пос. Чырлыкты на востоке,
  - орографически незащищенные участки склонов внешних горных районов в диапазоне высот 1,85-2,75 км (см. табл. А. 1),
  - орографически незащищенные участки склонов гребневых зон внутренних горных районов в диапазоне высот 2,5-3,5 км западнее меридiana оз. Сон-Куль и в диапазоне высот 2,5-4 км восточнее меридiana оз. Сон-Куль.
- К шестому-седьмому ветровым районам относятся орографически незащищенные участки верхних гребневых зон хребтов внутренних горных областей выше отметок 4,7 км западнее меридiana оз. Сон-Куль и выше отметок 5,2 км восточнее меридiana оз. Сон-Куль, а также орографически незащищенные участки верхних гребневых зон хребтов внешних горных областей выше 2,75 км. Высотные границы V-VII нормативных ветровых районов приведены в табл. А. 1.

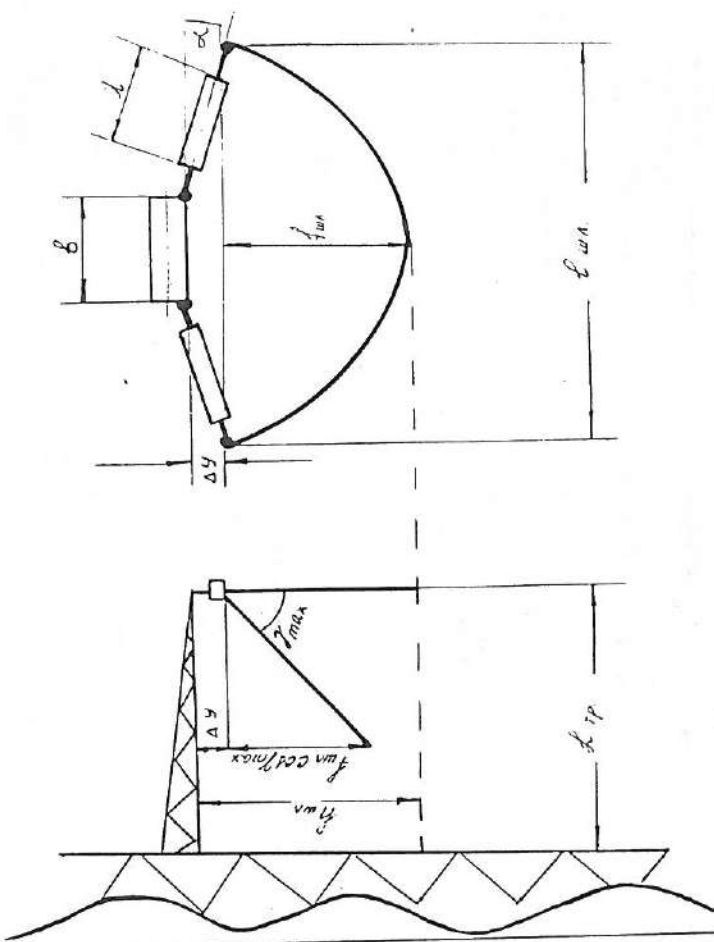


Рис. 1

- на участках трассы в перевальных и гребневых зонах, на открытых склонах, против выходов из горных долин и на отдельных возвышенностях, если скорость напор с учетом уточнений на локальные особенности трассы превышает 700 Па.

5.1.14 Общий вес дополнительных грузов,  $G_{д,г}$ , необходимый для снижения угла отклонения шлейфа до допустимых пределов может определяться по формуле:

$$G_{д,г} = G_{шн} (\operatorname{tg} \Phi_{шн} / \operatorname{tg} \Phi_{шн \max} - 1) \quad (14)$$

Требования к устройству и размещению дополнительных грузов рекомендуется принимать в соответствии с Руководящими Указаниями Кыргызэнерго по расчету ветровых нагрузок и углов отклонения проводов проектируемых ВЛ и по повышению их эксплуатационной надежности при ветре [6].

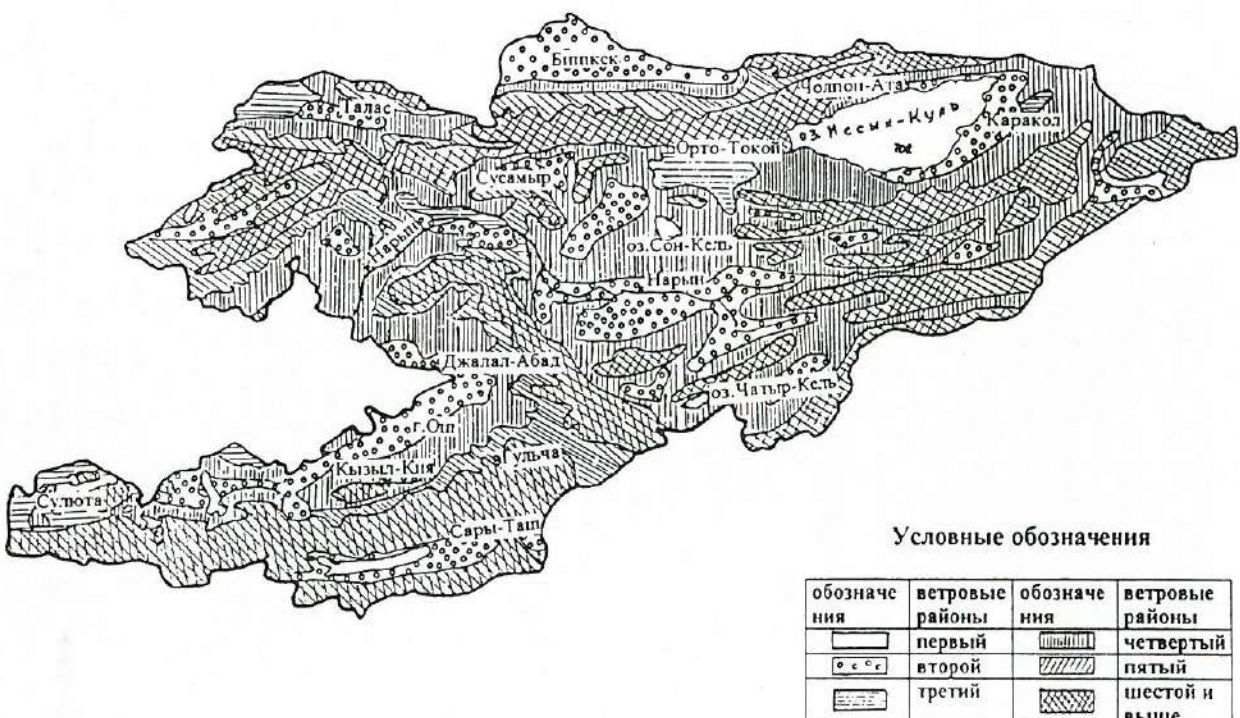
## 5.2. Гололедные нагрузки

5.2.1. Расчетное значение линейной гололедной нагрузки на провода и тросы воздушных линий, Н/м определяется по формуле

обозначение	ветровые районы	обозначение	ветровые районы
	первый		четвертый
	второй		пятый
	третий		шестой и выше

### Условные обозначения

Рис. А.1



$$P_{\text{тол}} = g \rho b_n K_{\text{норм}} K_d K_{\text{н,тол}} (d + b_n K_{\text{б,тол}} K_{\text{д,тол}}) \bar{\gamma}_n 10^{-3} \quad (15)$$

где

$$g - \text{ускорение свободного падения, } \text{м/с}^2;$$

$b_n$  - нормативная толщина стенки гололеда, мм, на проводе диаметром 10 мм, на высоте 10 м над поверхностью земли, принимается в соответствии с табл. 5.5.

$K_{\text{н,тол}}$  - коэффициент учитывающий изменение толщины стенки гололеда по высоте, принимается по таблице 5.6.

$K_d$  - коэффициент учитывающий изменение толщины стенки гололеда в зависимости от диаметра провода, принимается по таблице 5.7.

$K_{\text{б,тол}}$  - коэффициент надежности по назначению линии для гололедной нагрузки, принимается для одноцепных ВЛ напряжением до 330 кВ равным 1, для особо ответственных ВЛ до 330 кВ и всех ВЛ выше 330 кВ - 1,2, для двухцепных

ВЛ всех напряжений - 1,2,

$d$  - диаметр провода, мм;

$\bar{\gamma}_n$  - плотность гололедных отложений,  $\text{г/см}^3$  ( $\bar{\gamma}_n = 0,25 \text{ г/см}^3$ ).

Таблица 5.5. Укрепленные толщины стенок гололеда при плотностях 0,25 и 0,9  $\text{г/см}^3$  на проводе 10 мм и высоте 10 м.

Гололедные районы	Нормативная толщина стенки гололедных отложений с плотностью 0,25 $\text{г/см}^3$ , $b_n$ с повторяемостью один раз в 5 лет				Средняя толщина стенки гололедных отложений с плотностью 0,9 $\text{г/см}^3$ , $b_{шн}$ с повторяемостью один раз в 5 лет			
	10 лет	15 лет	25 лет	5 лет	10 лет	15 лет	25 лет	
I	14	16	18	22	6	7	8	
II	18	22	26	32	8	10	12	
III	23	30	35	42	11	14	16	
IV	30	38	44	51	14	18	21	
V	35	44	51	61	17	21	25	
VI	40	51	59	75	19	25	29	
VII	45	57	71	85	22	28	33	
особый	>45	>57	>71	>85	>22	>28	>33	
							>40	

Таблица 5.6 - Значения коэффициента  $K_{t,gt}$  при высотах более 10 м над землей

Тип местности	$K_{t,gt}$	Значение $K_{t,gt}$								
		2	3	4	5	6	7	8	9	
1. Орографически открытые, выпуклые участки горного рельефа (гребни хребтов, перевалы и прилегающие склоны, протяженностью до 100 м, боковые водоразделы, отдельные вершины и внутренние плато).	для веса	1,0	1,1	1,20	1,20	1,25	1,25	1,30	1,30	
2. Предгорная равнина, широкие долины, котловины и склоны (ниже гребня на 100 м и более)	для стенки	1,0	1,05	1,07	1,10	1,10	1,15	1,20	1,20	
	для веса	1,0	1,30	1,45	1,75	1,90	2,0	2,1	2,1	
	для стенки	1,0	1,15	1,20	1,30	1,40	1,50	1,60	1,60	

Таблица 5.7 - Поправочные коэффициенты  $K_d$ , учитывающие влияние диаметра провода на толщину стенки и вес гололедных отложений

Диаметр прово-да, гром., мм	Толщина реальной стенки, $b_p$ , мм	Вес отложения, Н/м		
		45 и более	6	11
10	1,0	1,0	1,0	1,0
15	0,9	0,93	0,95	1,0
20	0,8	0,85	0,9	1,0
30	0,7	0,75	0,8	1,0
40	0,6	0,65	0,75	1,0
50	0,5	0,55	0,7	1,0

$b_p = 0,5 \sqrt{\frac{b_s^2 + b_s d}{Y_s} + d^2} - 0,5d$

где  $d$  – диаметр провода в см.

Конкретные значения толщины стенок для чистого гололеда с плотностью отложений  $0,9 \text{ г/см}^3$  приведены в таблице 5.5.

**5.2.2. Высоту над поверхностью земли допускается принимать по высоте расположения центра тяжести всех проводов**

**5.2.3. Для возможности сопоставления нормативных стекок отложений при плотности  $0,25 \text{ б}_s$  с толщинами стенок  $b_s$ , при других плотностях  $Y_s$ , служит формула**

$$(16) \quad b_s = 0,5 \sqrt{\frac{b_s^2 + b_s d}{Y_s} + d^2} - 0,5d$$

где  $d$  – диаметр провода в см.

Конкретные значения толщины стенок для чистого гололеда с плотностью отложений  $0,9 \text{ г/см}^3$  приведены в таблице 5.5.

### 5.3. Ветровые нагрузки на провода и трости покрытые гололедом

**5.3.1. Нормативные значения скоростного напора ветра,  $q_{t,gt}$ , определяются в соответствии с условиями § 4.4.1.**

**5.3.2. Расчетная ветровая нагрузка возможная при максимальных гололедных отложениях,  $R_{\text{в.гол.}}$  Н/м, должна определяться по формуле**

$$(17) \quad R_{\text{в.гол.}} = K_u K_b K_{t,gt} \mu_d C_{\text{шер}} q_{t,gt} (d + 2 b_s K_{\text{наг}} K_d K_{\text{н.гол.}}) 10^{-3}$$

где  $K_u, K_b, K_{t,gt}, \mu_d$  – принимаются в соответствии с п.5.1.3;

## ПРИЛОЖЕНИЕ А (Обязательное)

### КАРТЫ НОРМАТИВНЫХ ВЕТРОВЫХ И ГОЛОЛЕДНЫХ РАЙОНОВ КЫРГЫЗСТАНА С ОПИСАНИЕМ ИХ ПРИМЕНЕНИЯ В УСЛОВИЯХ ГОРНОГО РЕЛЬЕФА

Исходные региональные карты нормативных ветровых и гололедных районов были разработаны КНПЦ «Энергия» согласно инструктивным указаниям [7, 8] в М 1:500000 и в установленном порядке утверждены в качестве *региональных*, т.е. как обязательное дополнение к ПУЭ по региону. В настоящем приложении А приведены уменьшенные схемы этих карт (рис. А.1 и А.2), снабженные необходимым описанием по их использованию в условиях сложного горного рельефа Кыргызстана. Приводимые схематические карты совместно с описаниями позволяют получить при их практическом применении разрешающую способность по определению нормативных ветровых и гололедных районов, аналогичную региональным картам М 1:500000. При использовании схематических карт необходимо учитывать критерии и терминологию Определений Приложения В, в частности п.п. 10, 17, 18 и др.

#### A.1. Карта нормативных ветровых районов

А.1.1. Схематическая карта нормативных ветровых районов Кыргызстана показана на рис. А.1. Различным ветровым районам соответствуют градации максимальных скоростей ветра и скоростных напоров, вероятных 1 раз в 5, 10, 15 и 25 лет, которые приведены в табл. 4.2.1.

А.1.2. На схематической карте рис. А.1 выделены только достаточно обширные районы участки подгорных равин и горных котловин (Чуйская, Таласская, Алайская и др.) с однородными ветровыми условиями. Территория горных склонов, где нетовых района могут изменяться от 1 до особого, как правило, показана двумя различными штриховками, что соответствует 1 – во внешних горных областях – крестообразной штриховкой, 2 – особенно ветровым районам, – вертикальной штриховкой (до абсолютных высот 3,5 км), что соответствует 1-4 – ветровым районам и крестообразной штриховкой (выше 3,5 км), что соответствует 1 – особому ветровым районам.

А.1.3. К внешним горным областям относятся области, лежащие севернее гребеней линий хребтов Кунгей Ала-Тоо, Киргизский Ала-Тоо, западнее гребеней линий Алайского и Түркестанского хребтов. Области, лежащие восточнее гребеней линий Алайского и Түркестанского хребтов Кунгей Ала-Тоо, Киргизский Ала-Тоо и Таласский Алайский гребеней – севернее гребеней линий Ферганского хребта и южнее гребеней линий Ферганского хребта и Киргизского хребта и к югу от хребтов Кунгей и Киргизский Ала-Тоо. Поэтому до меридiana оз. Сон-Куль участки гребеней зон внутренних хребтов с высоты более 3 км начинают превышать средний высотный уровень территории и оказывается в ветровых условиях, характерных для внешних горных районов. Восточнее меридiana оз. Сон-Куль такое превышение начинается примерно с высоты 3,5 км, выше меридiana оз. Сон-Куль – зона хребтов внутренних районов попадает в условия внешних горных районов. Соответственно этим правилам на карте рис. А.1 приведено выделение областей с различными ветровыми районами для склонов хребтов, согласно п. А.1.2 и А.1.3.

А.1.5. В соответствии со схематической защищенности п. 13, 14 и 15 Приложения В и положении п. А.1.2 линиями орографической защищенности

А.1.6. распределение нормативных ветровых районов по территории Кыргызстана характеризуется следующим образом.

Усредненные значения  $\delta$  можно принимать по таблице 6.1.

$l$  - высота опоры или ее части,

$q_{\text{топ-опт}}$  - нормативный скоростной напор ветра возможный при максимальных гололедных отложений на опорах.

$X$  - доля максимального скоростного напора,  $q_0$ , определяемая в соответствии с п.4.4.1.

6.2.3. При определении аэродинамического коэффициента  $C$ , в соответствии с применением 4 СНиП 2.01.07-85, величина коэффициента заполнения граней опоры, с учетом гололедных отложений на ее элементах,  $\varphi$ , принимается по таблице 6.2, в зависимости от конструктивного коэффициента заполнения без гололедных отложений,  $\varphi_0$ .

Таблица 6.1. - Усредненное увеличение ширины наружного контура опоры,  $\delta$  м при гололедных отложениях.

Расчетные значения линейной гололедной нагрузки, Н/м	80	100	200	300	400	500
Увеличение ширины контура проекции опоры на поперечную плоскость при направлении ветра к оси ВЛ 0° и 90°	0,08	0,10	0,15	0,20	0,25	0,30
То же при направлении ветра к оси ВЛ 45°	0,30	0,35	0,50	0,65	0,75	0,85

Таблица 6.2. - Коэффициент заполнения граней решетчатых опор с учетом гололедных отложений,  $\varphi_{\text{топ}}$  в зависимости от конструктивного коэффициента заполнения без гололедных отложений  $\varphi$ .

Конструктивный коэффициент заполнения без гололедных отложений, $\varphi$	Среднее значение коэффициента заполнения граней решетчатых опор, $\varphi_{\text{топ}}$ при расчетном значении линейной гололедной нагрузки на проводах, Н/м
80	100
100	200
200	300
300	400
400	500

$V_{\text{топ}} D, \frac{\text{м}^2/\text{с}}{C_{X_{\text{топ}}}}$	До 0,2	0,35	0,7	1,8	3,5	7,0	14
1,2	1,1	0,65	0,75	0,75	0,8	0,8	0,8

Промежуточные значения определяются линейной интерполяцией между двумя ближайшими значениями по таблице 5.8.

5.3.3. Результирующая гололедно-ветровая нагрузка на провода и тросы при максимальных гололедных отложениях,  $P_{\text{результат}}$ , Н/м, без учета собственного веса провода, должна определяться по формуле

$$P_{\text{результат}} = \sqrt{P_{\text{ветер}}^2 + P_{\text{гололед}}^2} \quad (18)$$

где  $P_{\text{ветер}}$  - определяется в соответствии с п.5.3.2.,

$P_{\text{гололед}}$  - весовая составляющая этой результирующей нагрузки, Н/м, определяется в соответствии с п.5.2.1.

#### 5.4. Расчетные сочетания ветровых, гололедных и температурных условий

5.4.1. Расчет ВЛ в нормальном режиме работы необходимо производить для следующих сочетаний нагрузок и условий [1,2]:

- Среднегодовая температура,  $t_{\text{ср}}$ , ветер и гололед отсутствуют. Среднесезонная однонапряженная в проводе, расчет на усталость.
- Минимальная температура,  $t_{\text{мин}}$ , ветер и гололед отсутствуют. Расчет на прочность провода.
- Максимальная температура,  $t_{\text{ макс}}$ , ветер отсутствует. Расчет максимальной стрельи отсутствует. Расчет максимальной стрельи.
- Максимальные гололедные отложения,  $P_{\text{гололед}}$ , температура при гололеде,  $t_{\text{гололед}}$ , ветер отсутствует. Расчет максимальной стрельи провода.
- Максимальные гололедные отложения,  $P_{\text{гололед}}$ , ветровая нагрузка при максимальном гололеде,  $P_{\text{ветер}}$ , и температура воздуха при гололеде. Расчет на прочность и на приближение токоведущих частей к элементам опор, сооружений и деревьев.

- Максимальная ветровая нагрузка,  $R_v$  гололеда нет, температура при максимальных скоростях ветра,  $t_{\max}$  (по п. 4.5.3.). Расчет на прочность и на приближение токонесущих частей к элементам опор, сооружений и деревьев.

5.4.2. Расчет ВЛ при грозовых и внутренних перенапряжениях следует производить при ветровом давлении равном  $0,25P_v$  ( $P_v$  по п.5.1.3.) и температуре воздуха плюс  $15^\circ\text{C}$ .

5.4.3. Проверка обеспечения безопасного подъема на опору при наличии напряжения на линии производится для температуры минус  $15^\circ\text{C}$ , ветер и гололед отсутствуют.

5.4.4. Расчет ВЛ в аварийном режиме работы следует производить для следующих климатических условий и сочетаний:

- Среднегодовая температура,  $t_{\min}$  (по п. 4.5.1.), ветер и гололед отсутствуют.
- Низшая температура,  $t_{\min}$  ( по п.4.5.2.), ветер и гололед отсутствуют.
- Максимальные гололедные отложения  $R_{\text{тол}}$  (по п.5.2.3.), температура при гололеде (по п. 4.5.4.), ветер отсутствует.

5.4.5. Проверку опор по условиям монтажа следует проводить для скоростного напора,  $q_0$ , равного 60 Па и температуры минус  $15^\circ\text{C}$ , гололед отсутствует.

6. Требования к расчету ветровых и гололедных нагрузок на опоры воздушных линий

## 6.1. Ветровые и гололедные нагрузки на опоры

6.1.1. Направление ветра при расчете опор следует принимать под углом  $0^\circ$ ,  $45^\circ$ , и  $90^\circ$  к оси ВЛ. При этом для угловых опор за ось ВЛ следует принимать направление перпендикулярное оси траверс [2, 9].

6.1.2. Влияние высоты на величину скоростного напора ветра для отдельных зон опоры определяется по высоте расположения средних точек этих зон, отсчитываемых от отметки поверхности земли в месте установки опоры. Длина каждой зоны должна быть не более 15 м [1].

6.1.3. Ветровая нагрузка на конструкцию опоры ВЛ,  $R_{\text{вт}}$ , определяется как сумма средней  $R_{\text{вт},\text{ср}}$  и пульсационной,  $R_{\text{вт},\text{п}}$ , составляющих, [3, 9].

6.1.4. Расчетное значение средней составляющей ветровой нагрузки на опоры ВЛ,  $R_{\text{вт},\text{ср}}$ , определяется по формуле:

$$R_{\text{вт},\text{ср}} = 1,2 K_a K_b C_{q_0} S \quad (19)$$

где  $K_a$ ,  $K_b$  и  $C_{q_0}$  - коэффициенты, принимаемые в соответствии с п. 5.1.3., от среднего уровня

$C_{q_0}$  - аэродинамический коэффициент, определяемый в зависимости от вида конструкции в соответствии с приложением 4 СНиП 20-01-07 – 85 [3];

$S$  - площадь проекции конструкции, ее части или элемента с наветренной стороны на плоскость, перпендикулярную ветровому потоку, вычисленная по наружному габариту,  $\text{м}^2$ .

6.1.5. Для опор высотой до 50 м расчетное значение пульсационной составляющей ветровой нагрузки,  $R_{\text{вт},\text{п}}$ , допускается принимать [2, 9]:

- для свободностоящих одностоечных стальных опор  $R_{\text{вт},\text{п}} = 0,5 P_{\text{оп},\text{ср}}$ ,
- для свободностоящих порталных стальных опор  $R_{\text{вт},\text{п}} = 0,6 P_{\text{оп},\text{ср}}$ ,
- для свободностоящих порталных железобетонных опор

$$P_{\text{оп},\text{ср}} = 0,5 P_{\text{оп},\text{ср}} \quad (20)$$

## 6.2. Условия оценки ветровых нагрузок на опоры покрытые гололедом [5]

6.2.1. Учет гололедных отложений при расчете ветровых нагрузок на решетчатые опоры,  $R_{\text{тол}}$ ,  $K_{\text{тол}}$ ,  $K_{\text{вт},\text{тол}}$ ,  $Y$  - принимаются в соответствии с п.5.2.1.:

где  $b_n$ ,  $K_{\text{тол}}$ ,  $K_{\text{вт},\text{тол}}$ ,  $Y$  - принимаются в соответствии с п.5.2.1.;

$g$  - ускорение свободного падения,  $\text{м}/\text{s}^2$ ;

0,6 - коэффициент учитывающий отношение площади поверхности элемента подверженной обледенению к полной площади поверхности элемента.

6.1.7. При весе гололедных отложений на проводах более 80 Н/м, величину гололедных отложений на элементах стальных опор,  $R_{\text{тол}}$ , следует принимать равной величине отложений на проводах,  $R_{\text{тол}}$ , определяемой в соответствии с п.5.2.1.

Для этого случая форма гололедной муфты допускается принимать прямокутальной с соотношением сторон  $a/c = 1,8$ , где  $a$  - высота отложений на паветренной стороне, а  $c$  - их ширина.

## 6.2. Условия оценки ветровых нагрузок на опоры покрытые гололедом [5]

6.2.1. Учет гололедных отложений при расчете ветровых нагрузок на стальные опоры должен производиться при величине линейной гололедной нагрузки на провода,  $R_{\text{тол}}$ , 80 и более Н/м при меньших отложениях расчет ведется без учета обледенения.

6.2.2. При определении расчетного значения средней составляющей ветровой нагрузки на опору с учетом ее обледенения,  $R_{\text{тол},\text{оп-ср}}$ , в формуле (19) пункта 6.1.4 настоящего раздела СНиП КР, значение  $S$  заменяется на величину  $S_{\text{тол}}$ ,

$$S_{\text{тол}} = S + \delta l \quad (21)$$

а значение  $q_0$  - на величину  $q_{\text{тол},\text{оп}}$ .

$$q_{\text{тол},\text{оп}} = x q_0 \quad (22)$$

где  $x$  и  $q_0$  - по п. 6.1.4.

$\delta$  - увеличение ширины наружного контура наветренной проекции опоры на плоскость перпендикулярную ветровому потоку при гололедных отложениях.